teaching sciences



Proposition de corrigé

Concours: EPITA

Année: 2013

Filière: MP - PSI

Épreuve : Sciences Industrielles pour l'Ingénieur

Ceci est une proposition de corrigé des concours de CPGE, réalisée bénévolement par des enseignants de Sciences Industrielles de l'Ingénieur et d'Informatique, membres de l'<u>UPSTI</u> (Union des Professeurs de Sciences et Techniques Industrielles), et publiée sur le site de l'association :

https://www.upsti.fr/espace-etudiants/annales-de-concours

A l'attention des étudiants

Ce document vous apportera des éléments de corrections pour le sujet traité, mais n'est ni un corrigé officiel du concours, ni un corrigé détaillé ou exhaustif de l'épreuve en question.

L'UPSTI ne répondra pas directement aux questions que peuvent soulever ces corrigés: nous vous invitons à vous rapprocher de vos enseignants si vous souhaitez des compléments d'information, et à vous adresser à eux pour nous faire remonter vos éventuelles remarques.

Licence et Copyright

Toute représentation ou reproduction (même partielle) de ce document faite sans l'accord de l'UPSTI est **interdite**. Seuls le téléchargement et la copie privée à usage personnel sont autorisés (protection au titre des <u>droits d'auteur</u>).

En cas de doute, n'hésitez pas à nous contacter à : corrigesconcours@upsti.fr.

Informez-vous!

Retrouvez plus d'information sur les <u>Sciences de l'Ingénieur</u>, l'<u>orientation</u>, les <u>Grandes Ecoles</u> ainsi que sur les <u>Olympiades de Sciences de l'Ingénieur</u> et sur les <u>Sciences de l'Ingénieur au Féminin</u> sur notre site : <u>www.upsti.fr</u>

L'équipe UPSTI

Epreuve de Sciences Industrielles pour l'Ingénieur

La boite de vitesse à variation continue CVT

Durée: 2h. Calculatrices autorisées. Documents interdits.

Ce sujet comporte 10 pages.

Présentation

La boite de vitesse d'une automobile est un organe d'adaptation de puissance disponible et fournie par le moteur thermique à la puissance nécessaire au déplacement du véhicule. Les boites automatiques sont de plus en plus utilisées de par leur confort d'utilisation et leur progrès en termes de consommation de carburant. La boite de vitesse CVT dite « à variation continue » est un exemple de boite automatique moderne.

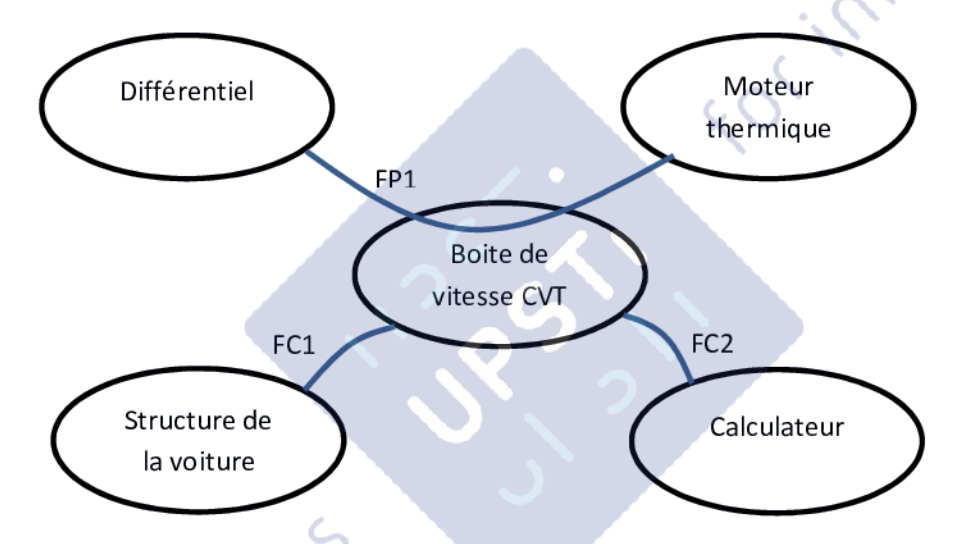


Figure 1 : Diagramme des interacteurs du système.

| Fonction | Enoncé | Critère | Niveau |
|----------|------------------------------------|--------------------------------|--------------------|
| FP1 | Adapter la puissance du | Puissance transmise | 200 kW minimum |
| | moteur au différentiel | Rapports de réduction entre la | Cf texte du sujet. |
| | | vitesse du moteur et du | |
| | | différentiel | |
| FC1 | Etre en liaison encastrement | Efforts dans la liaison | |
| FC2 | Recevoir des ordres du calculateur | | |

La boite de vitesse Audi Multitronic (Figure 11 page 10 et Figure 2 page 2) est un exemple de boite à variation continue. Elle est constituée d'un embrayage multidisques, d'un réducteur à engrenages, d'un système poulie-chaine à variation de rayon, et d'un engrenage conique.

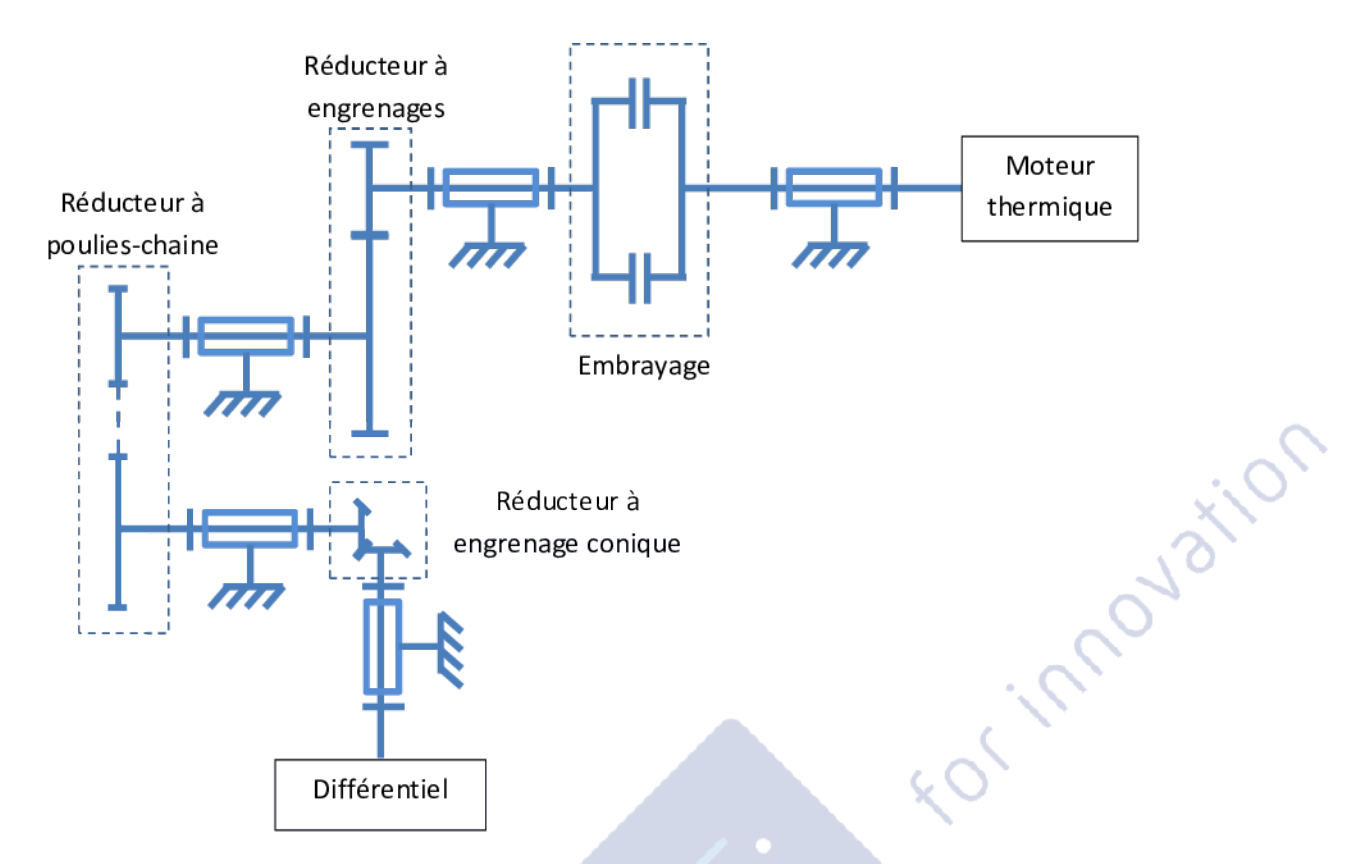


Figure 2 : Schéma cinématique de la boite CVT.

Le système poulie-chaine comporte deux poulies et une chaine (Figure 3 page 2) similaire à une courroie de section trapézoïdale. Chacune des poulies est composées de deux flasques coniques, dont un est mobile le long de son axe (Figure 4 page 3). Cette mobilité induit une variation de rayon des poulies. Le déplacement des flasques mobiles est assuré par des vérins hydrauliques.

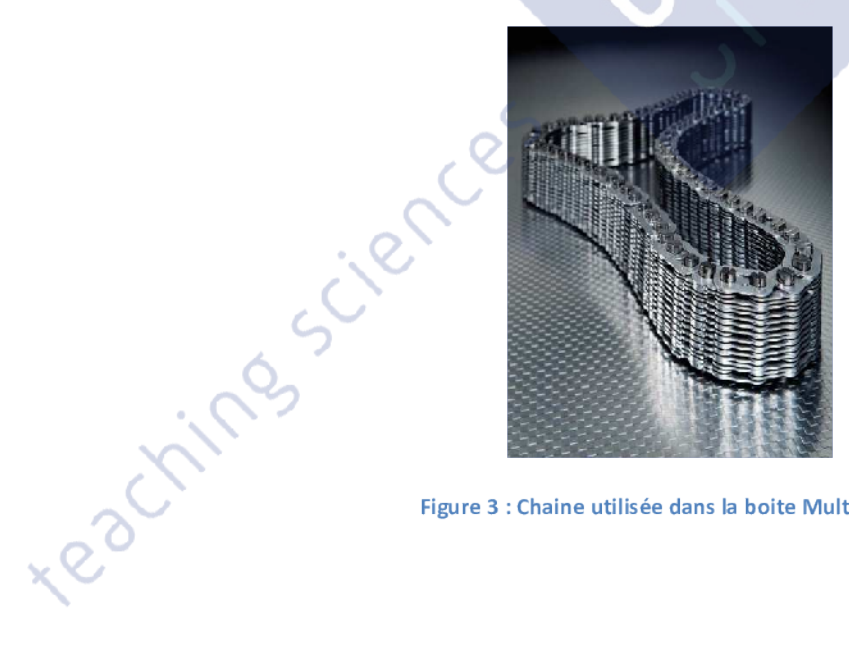


Figure 3 : Chaine utilisée dans la boite Multitronic.

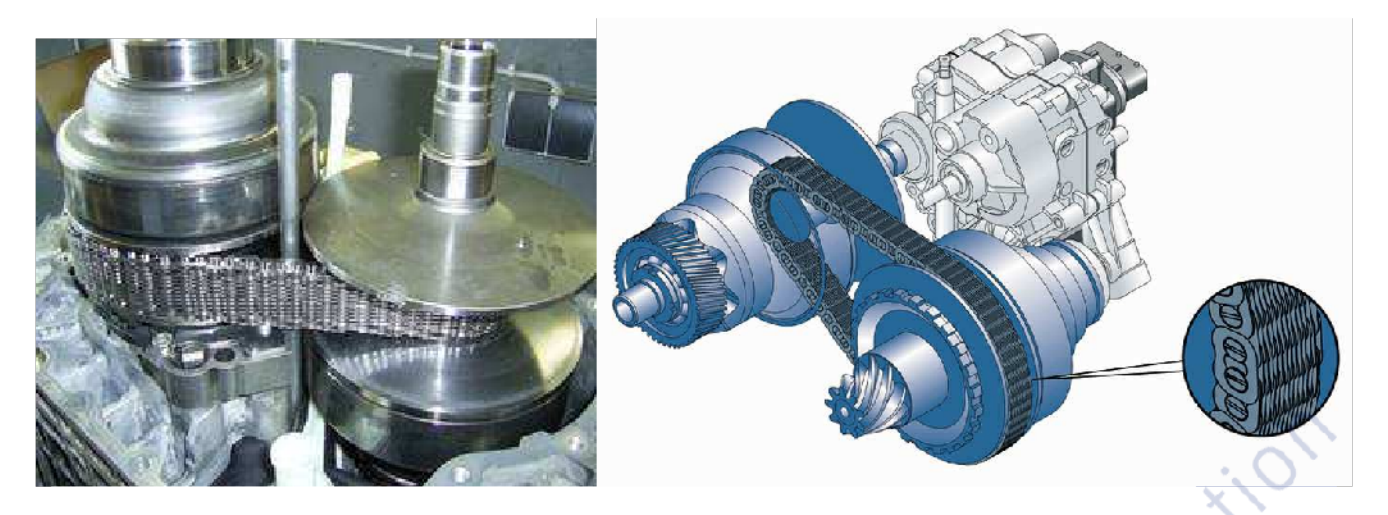


Figure 4 : Système poulie chaine.

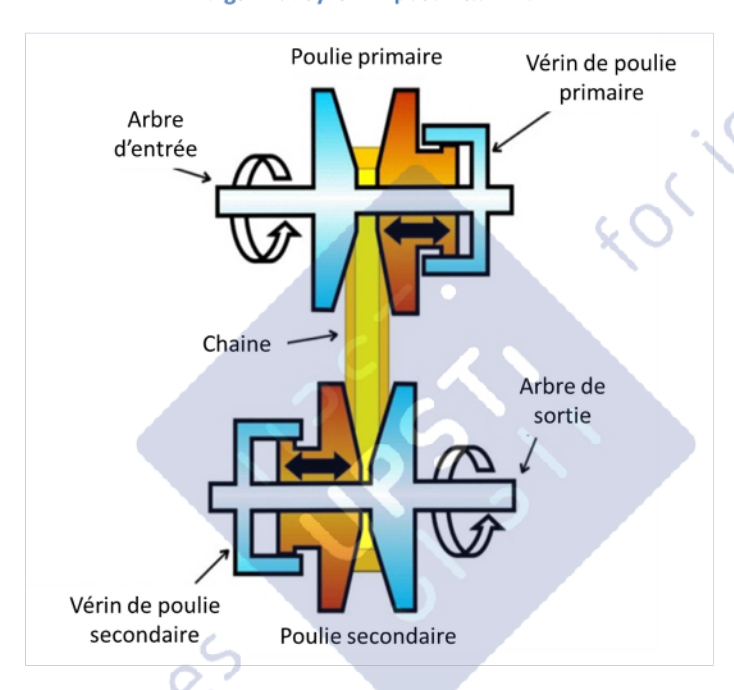


Figure 5 : Principe de fonctionnement du système poulie chaine à variation continue.

Première partie : Détermination de la course du vérin hydraulique

Dans cette partie, on cherche à déterminer la course des vérins actionnant les flasques mobiles du système pouliechaine pour pouvoir respecter le critère de rapport de réduction de la fonction FP1.

On modélise le réducteur à poulie chaine comme sur la Figure 6 page 4.

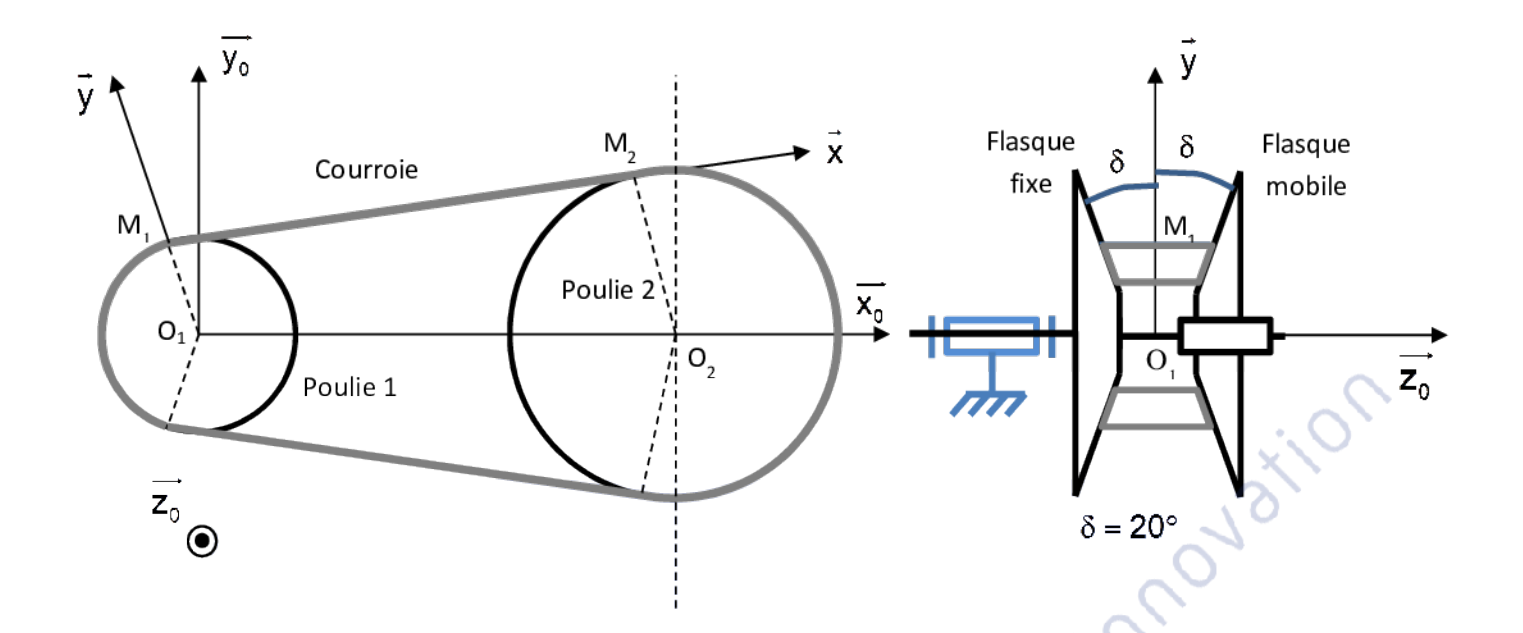


Figure 6 : Modélisation du système poulie chaine.

La chaine est supposée sans épaisseur et inextensible. Elle ne glisse pas sur les poulies. La poulie 1 tourne à une vitesse notée $\overrightarrow{\Omega_{1/0}} = \omega_1 \overrightarrow{Z_0}$ par rapport au bâti et la poulie 2 tourne à une vitesse notée $\overrightarrow{\Omega_{2/0}} = \omega_2 \overrightarrow{Z_0}$ par rapport au bâti de la voiture noté 0. Les rayons des poulies 1 et 2 sont notés R_1 et R_2 .

1. Déterminer le vecteur vitesse du point M_1 appartenant à la poulie 1 par rapport au bâti 0 $\overline{V}_{M_1,1/0}$ en fonction de ω_1 et des constantes du problème.

$$\overrightarrow{V_{M_1,1/0}} = -R_1 \omega_1 \vec{x}$$

2. Déterminer le vecteur vitesse du point M_2 appartenant à la poulie 1 par rapport au bâti 0 $\overline{V_{M_2,2/0}}$ en fonction de ω_2 et des constantes du problème.

$$\overrightarrow{V_{M_2,1/0}} = -R_2\omega_2\overrightarrow{x}$$

3. En utilisant le caractère inextensible de la chaine, déterminer une relation entre $\overline{V_{M_1,1/0}}$ et $\overline{V_{M_2,2/0}}$.

$$\overrightarrow{V_{M_1,1/0}} = \overrightarrow{V_{M_2,2/0}}$$

4. En déduire l'expression du rapport $\frac{\omega_2}{\omega_1}$ en fonction des constantes du problème.

$$\frac{\omega_2}{\omega_1} = \frac{R_1}{R_2}$$

5. Expliquer pourquoi ce système est appelé système « à variation continue ». La variation continue réside dans le fait que le déplacement des poulies mobiles suivant leur axe est continu, donc une variation continue de R_1 et de R_2 , donc de $\frac{\omega_2}{\omega_1} = \frac{R_1}{R_2}$.

Le rapport de réduction doit être tel que : $0.4 < \frac{\omega_2}{\omega_1} < 2.5$. La valeur maximale que peut prendre R_1 ou R_2 est de 80 mm.

4/10

6. Déterminer la valeur minimale que doit prendre R_1 ou R_2 .

$$\frac{\omega_2}{\omega_1} = \frac{R_1}{R_2} = 0.4 \, \text{si} \, R_2 = 80 \, \text{mm}. \, \text{On en déduit que la valeur minimale de } \, R_1 \, \text{ ou } \, R_2 \, \text{est de 32 mm}.$$

7. En déduire l'expression de la course ΔZ du vérin hydraulique actionnant le flasque mobile de chacune des poulies. Faire l'application numérique.

$$\sin\delta = \frac{\Delta z}{R_{\text{max}} - R_{\text{min}}} \,. \; \text{On en déduit} \; \; \Delta z = \left(R_{\text{max}} - R_{\text{min}}\right) \sin\delta = \left(80 - 32\right) \sin20^\circ = 16 \, \text{mm} \,.$$

Deuxième partie : Détermination de la pression dans le vérin en fonction du couple à transmettre

On s'intéresse maintenant à la pression dans les vérins hydraulique manœuvrant les flasques mobiles des poulies. Pour cela, on ne considère qu'une poulie (1 ou 2) et on va déterminer les tensions dans les brins mou T_m et tendu T_t de la chaine en fonction du couple à transmettre.

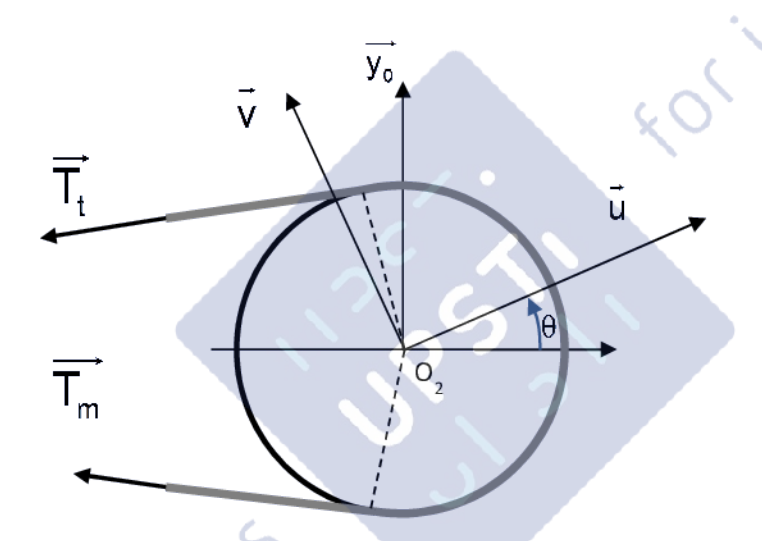


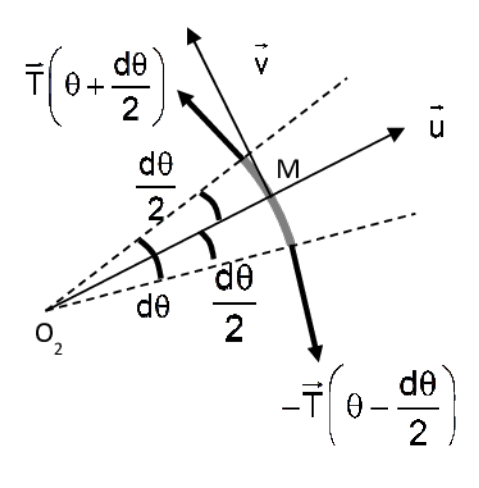
Figure 7 : Modélisation des efforts s'appliquant sur une poulie.

On modélise la chaine comme un solide unidimensionnel de masse linéique ρ . On suppose que les poulies tournent à vitesse constante $\overrightarrow{\Omega_{P/0}} = \omega \overrightarrow{Z_0}$. On appelle $T(\theta)$ la tension dans la chaine évoluant de la valeur T_m à la valeur T_t en fonction de θ . Le coefficient de frottement entre la chaine et chacun des flasques est noté f.

On va isoler un morceau de chaine élémentaire de secteur angulaire $d\theta$ (Figure 8 page 6). Cet élément de chaine est soumis à :

- l'action du brin de chaine « de droite » $-\overrightarrow{T}\left(\theta-\frac{d\theta}{2}\right)$ de norme $T\left(\theta-\frac{d\theta}{2}\right)$;
- l'action du brin de chaine « de gauche » $\vec{T}\left(\theta + \frac{d\theta}{2}\right)$ de norme $\vec{T}\left(\theta + \frac{d\theta}{2}\right)$;
- l'action du flasque mobile suivant la normale $\overline{dN_m}$ et suivant la tangente $-dT_m\vec{v}$;
- l'action du flasque mobile suivant la normale $\overline{dN_f}$ et suivant la tangente $-dT_f\vec{v}$.

On supposera que $\left\|\overrightarrow{dN_m}\right\| = \left\|\overrightarrow{dN_f}\right\| = dN$ grâce à la symétrie du problème.



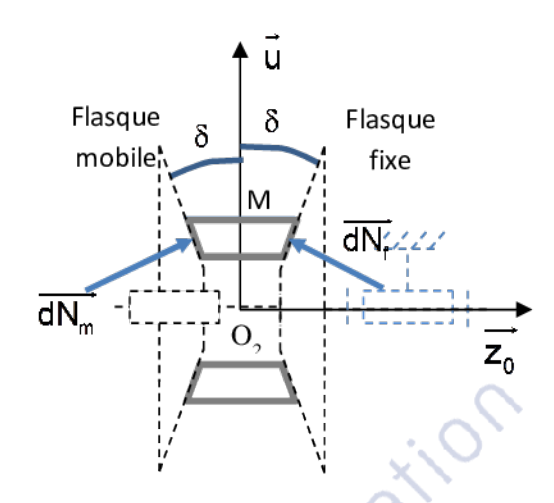


Figure 8 : Isolement d'un morceau de chaine.

- 8. Déterminer la masse de l'élément de chaine en fonction de ρ , R et de l'angle élémentaire $d\theta$. $dm = \rho R d\theta$
- 9. Déterminer le vecteur accélération du point M de l'élément de chaine isolé par rapport au bâti $\overline{a_{\text{M,chaine/0}}}$ $\overline{a_{\text{M,chaine/0}}} = -R\omega^2 \vec{u}$
- 10. Décomposer les vecteurs $\overrightarrow{dN_m}$ et $\overrightarrow{dN_f}$ dans la base $(\overrightarrow{u}, \overrightarrow{Z_0})$. $\overrightarrow{dN_m} = dN(\cos\delta \overrightarrow{z_0} + \sin\delta \overrightarrow{u}) \text{ et } \overrightarrow{dN_f} = dN(-\cos\delta \overrightarrow{z_0} + \sin\delta \overrightarrow{u})$

On cherche la valeur limite de la pression dans le vérin hydraulique actionnant le flasque mobile, on se place donc à la limite du glissement.

11. Exprimer dT_m et dT_f en fonction de f et dN. $dT_m = dT_f = f.dN$

12. Appliquer le Principe Fondamental de la Dynamique à l'élément de chaine et projeter l'équation vectorielle sur les vecteurs \vec{u} et \vec{v} .

$$\overline{a_{\text{M,chaine/0}}}.dm = -\overline{T}\left(\theta - \frac{d\theta}{2}\right) + \overline{T}\left(\theta + \frac{d\theta}{2}\right) - dT_{\text{m}}\vec{v} - dT_{\text{f}}\vec{v} + \overline{dN_{\text{m}}} + \overline{dN_{\text{f}}}$$

$$\text{En projection sur } \vec{u} : -\rho.R^2.\omega^2d\theta = -\left[T\left(\theta - \frac{d\theta}{2}\right) + T\left(\theta + \frac{d\theta}{2}\right)\right]\sin\frac{d\theta}{2} + 2dN.\sin\delta$$

$$\text{En projection sur } \vec{v} : 0 = \left[-T\left(\theta - \frac{d\theta}{2}\right) + T\left(\theta + \frac{d\theta}{2}\right)\right]\cos\frac{d\theta}{2} - 2f.dN$$

13. Réécrire les équations précédentes en appliquant l'approximation des angles petits à l'angle infiniment petit.

On utilisera les développements limité :
$$T\left(\theta + \frac{d\theta}{2}\right) = T\left(\theta\right) + \frac{dT}{2}$$
 et $T\left(\theta - \frac{d\theta}{2}\right) = T\left(\theta\right) - \frac{dT}{2}$ On utilise les propriétés suivantes : $\sin\frac{d\theta}{2} = \frac{d\theta}{2}$ et $\cos\frac{d\theta}{2} = 1$. On obtient :

$$-\rho.R^{2}.\omega^{2}d\theta = -\left[2T(\theta)\right]\frac{d\theta}{2} + 2dN.\sin\delta$$
Et $0 = dT - 2f.dN$

$$\text{14. En d\'eduire que } T_t = \left(T_m - \rho.R^2.\omega^2\right).e^{\frac{f\alpha}{\sin\delta}} + \rho.R^2.\omega^2 \text{ et que } T\left(\theta\right) = \left(T_m - \rho.R^2.\omega^2\right).e^{\frac{f}{\sin\delta}\left(\theta - \frac{\alpha}{2}\right)} + \rho.R^2.\omega^2 \,. \\ \left(T - \rho.R^2.\omega^2\right)d\theta = 2dN.\sin\delta \text{ et } dT = 2f.dN$$

En éliminant
$$dN$$
 , on obtient $\frac{dT}{\left(T-\rho.R^2.\omega^2\right)d\theta} = \frac{2f.dN}{2dN.\sin\delta}$

On en déduit
$$\frac{dT}{\left(T-\rho.R^2.\omega^2\right)} = \frac{f}{sin\delta}d\theta \; ; \; \int\limits_{T_m}^{Tt} \frac{dT}{\left(T-\rho.R^2.\omega^2\right)} = \int\limits_{-\alpha/2}^{\alpha/2} \frac{f}{sin\delta}d\theta \; ; \; \int\limits_{T_m}^{T} \frac{dT}{\left(T-\rho.R^2.\omega^2\right)} = \int\limits_{T_m}^{\pi/2} \frac{f}{sin\delta}d\theta \; ; \; \int\limits_{T_m}^{T} \frac{dT}{\left(T-\rho.R^2.\omega^2\right)} = \int\limits_{T_m}^{\pi/2} \frac{f}{sin\delta}d\theta \; ; \; \int\limits_{T_m}^{T} \frac{dT$$

Finalement
$$T_t = (T_m - \rho.R^2.\omega^2).e^{\frac{f\alpha}{\sin\delta}} + \rho.R^2.\omega^2$$

$$\text{D'autre part, } \int\limits_{T_m}^T \frac{dT}{\left(T-\rho.R^2.\omega^2\right)} = \int\limits_{-\alpha/2}^\theta \frac{f}{\sin\delta} d\theta \, \text{et donc } T = \left(T_m - \rho.R^2.\omega^2\right).e^{\frac{f}{\sin\delta}\left(\theta-\frac{\alpha}{2}\right)} + \rho.R^2.\omega^2$$

15. Déterminer l'expression de T_m en fonction du couple à transmettre C.

$$C = \left(T_t - T_m\right)R = \left[\left(T_m - \rho.R^2.\omega^2\right).e^{\frac{f\alpha}{\sin\delta}} + \rho.R^2.\omega^2 - T_m\right]R = \left(e^{\frac{f\alpha}{\sin\delta}} - 1\right)\left(T_m - \rho.R^2.\omega^2\right)R$$

16. Reprendre les équations précédentes et déterminer l'expression de l'effort normal élémentaire dN.

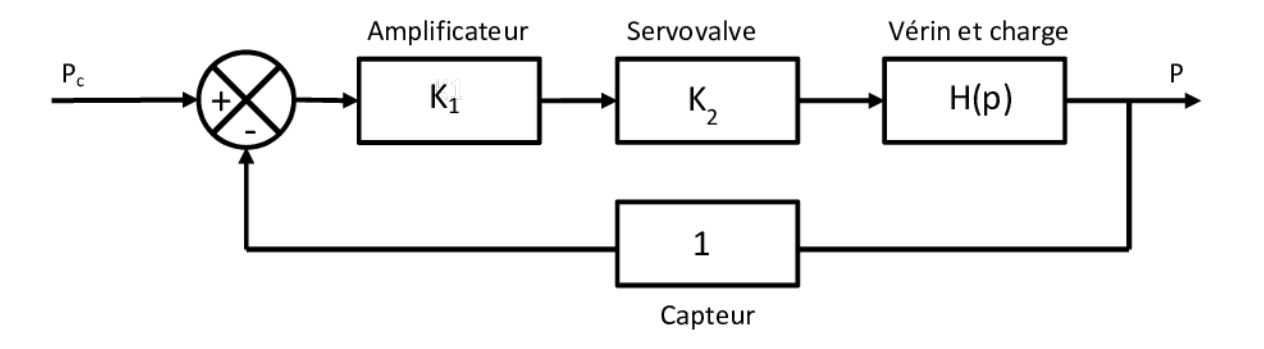
$$0 = dT - 2f.dN \ donc \ dN = \frac{dT}{2f} = \left(T_m - \rho.R^2.\omega^2\right) \frac{e^{\frac{1}{\sin\delta}\left(\theta - \frac{\alpha}{2}\right)}}{2.\sin\delta}.d\theta \, .$$

17. En déduire l'effort axial F_a que doit appliquer le vérin sur le flasque mobile pour éviter tout glissement de la chaine en fonction du couple C à transmettre.

$$\begin{split} F_{a} &= \int dN cos \, \delta = \int\limits_{-\alpha/2}^{\alpha/2} \left(T_{m} - \rho.R^{2}.\omega^{2} \right) \frac{e^{\frac{f}{sin}\delta\left(\theta - \frac{\alpha}{2}\right)} cos \, \delta}{2.sin \, \delta}.d\theta = \frac{T_{m} - \rho.R^{2}.\omega^{2}}{2 tan \, \delta} \int\limits_{-\alpha/2}^{\alpha/2} e^{\frac{f}{sin}\delta\left(\theta - \frac{\alpha}{2}\right)}.d\theta \\ F_{a} &= \frac{T_{m} - \rho.R^{2}.\omega^{2}}{2 tan \, \delta} \int\limits_{f}^{sin} \left[1 - e^{\frac{f.\alpha}{sin}\delta} \right] \\ Donc \, F_{a} &= \frac{C}{2R.f.cos \, \delta} \left[\frac{1 - e^{\frac{f.\alpha}{sin}\delta}}{e^{\frac{f.\alpha}{sin}\delta} - 1} \right]. \end{split}$$

Troisième partie : Etude de l'asservissement en pression

Nous venons de voir dans la partie précédente que pour transmettre un couple en évitant tout glissement de la chaine, il est nécessaire que les vérins hydrauliques actionnant les flasques mobiles exercent une force déterminée. Il est donc nécessaire d'asservir les vérins hydrauliques en pression. L'asservissement possède le schéma-bloc suivant :



Pc est la pression de consigne, P est la pression effective asservie. La fonction de transfert de l'ensemble vérin et charge est $H(p) = \frac{K}{p} \frac{a \cdot p^2 + b \cdot p + c}{a \cdot p^2 + b \cdot p + c + 1}$.

18. Déterminer l'erreur statique lorsque la consigne est un échelon de pression P_{c0}.

Le système comporte une FTBO de classe1, l'erreur statique est nulle pour une entrée échelon.

On donne le diagramme de Bode de la fonction
$$K_2.H(p) = K_2.\frac{K}{p} \frac{a.p^2 + b.p + c}{a.p^2 + b.p + c + 1}$$

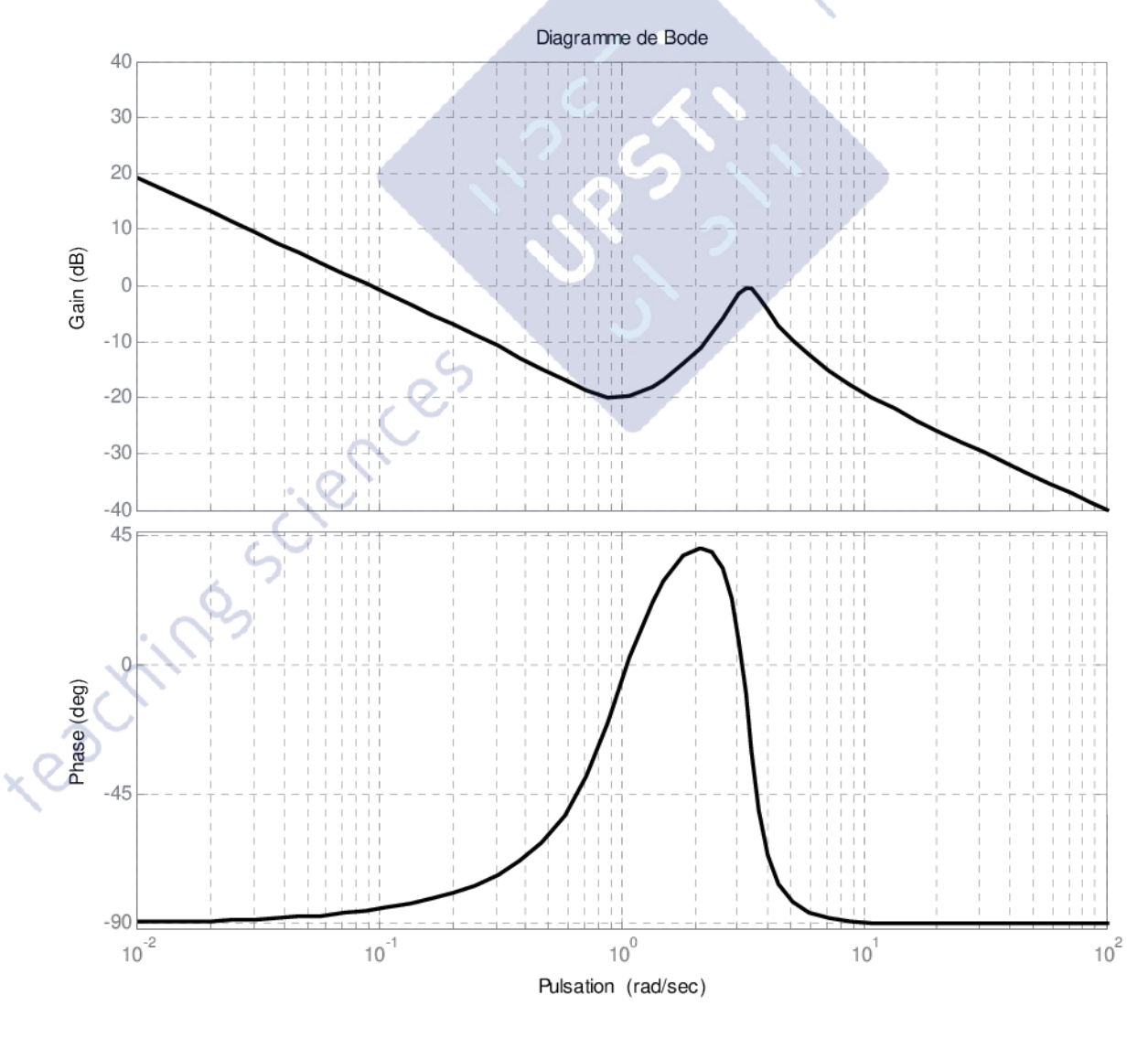


Figure 9: Diagrame de Bode de K2.H(p).

19. Le système est-il stable ? Pourquoi ?

Le système est stable car la phase est toujours supérieure à -90°.

20. Déterminer la fonction de transfert en boucle fermée.

$$FTBF\left(p\right) = \frac{K_{1}.K_{2}.\left(a.p^{2} + b.p + c\right)}{p.\left(a.p^{2} + b.p + c + 1\right) + K_{1}.K_{2}.\left(a.p^{2} + b.p + c\right)}\,.$$

On cherche à déterminer la valeur de K1 donnant le meilleur temps de réponse au système. La Figure 10 page 9 présente la réponse indicielle du système pour différentes valeurs du gain de l'amplificateur K₁.

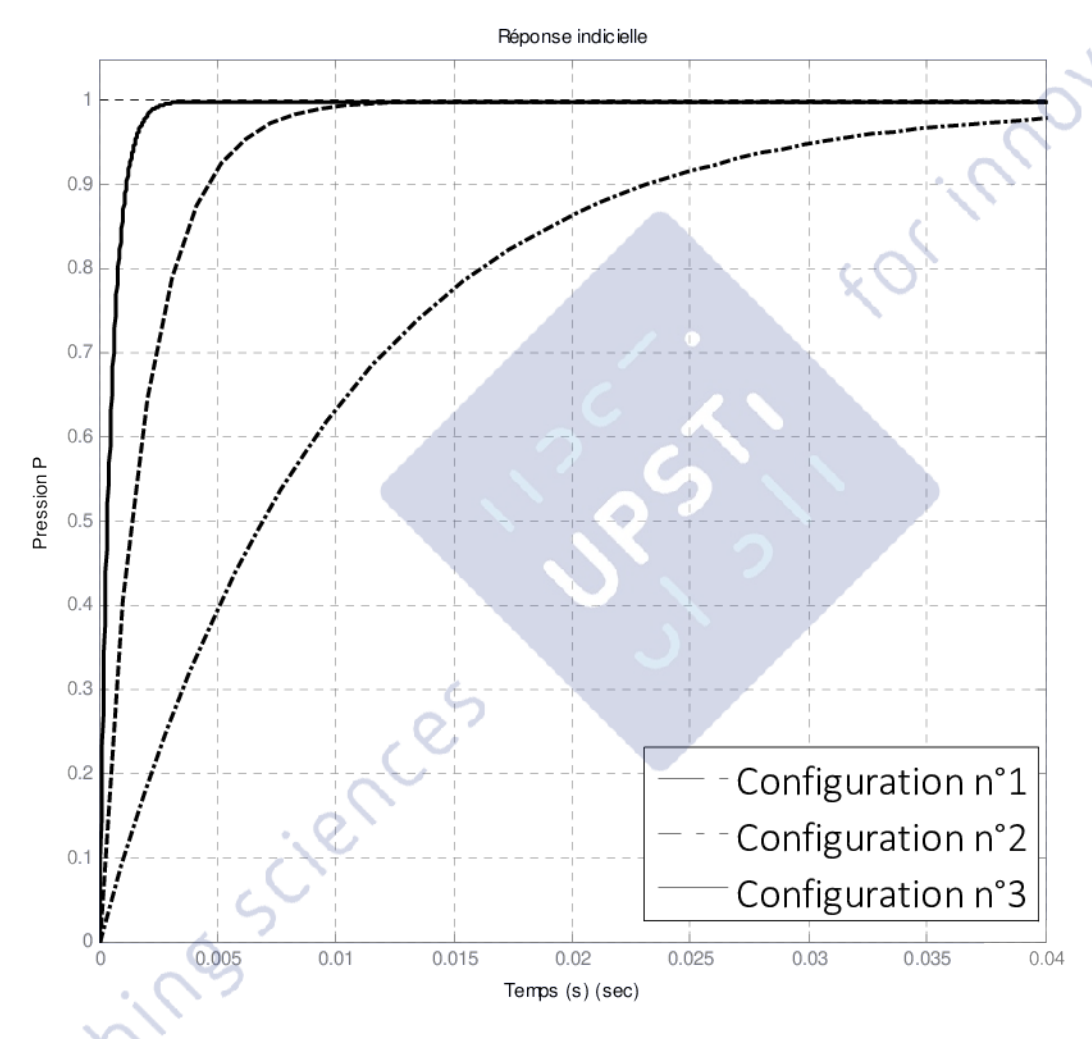


Figure 10 : Réponse indicielle pour différentes configurations.

21. Pour chacune des configurations, déterminer le temps de réponse à 5% et choisir la configuration la plus avantageuse. Commenter.

Configuration n°1 : Tr5% = 1,5 ms Configuration n°2 : Tr5% = 6 ms Configuration n°3 : Tr5% = 30,2 ms

La configuration la plus avantageuse est ici la configuration n°1. Le réglage de K1 est limité par la puissance disponible dans l'installation.

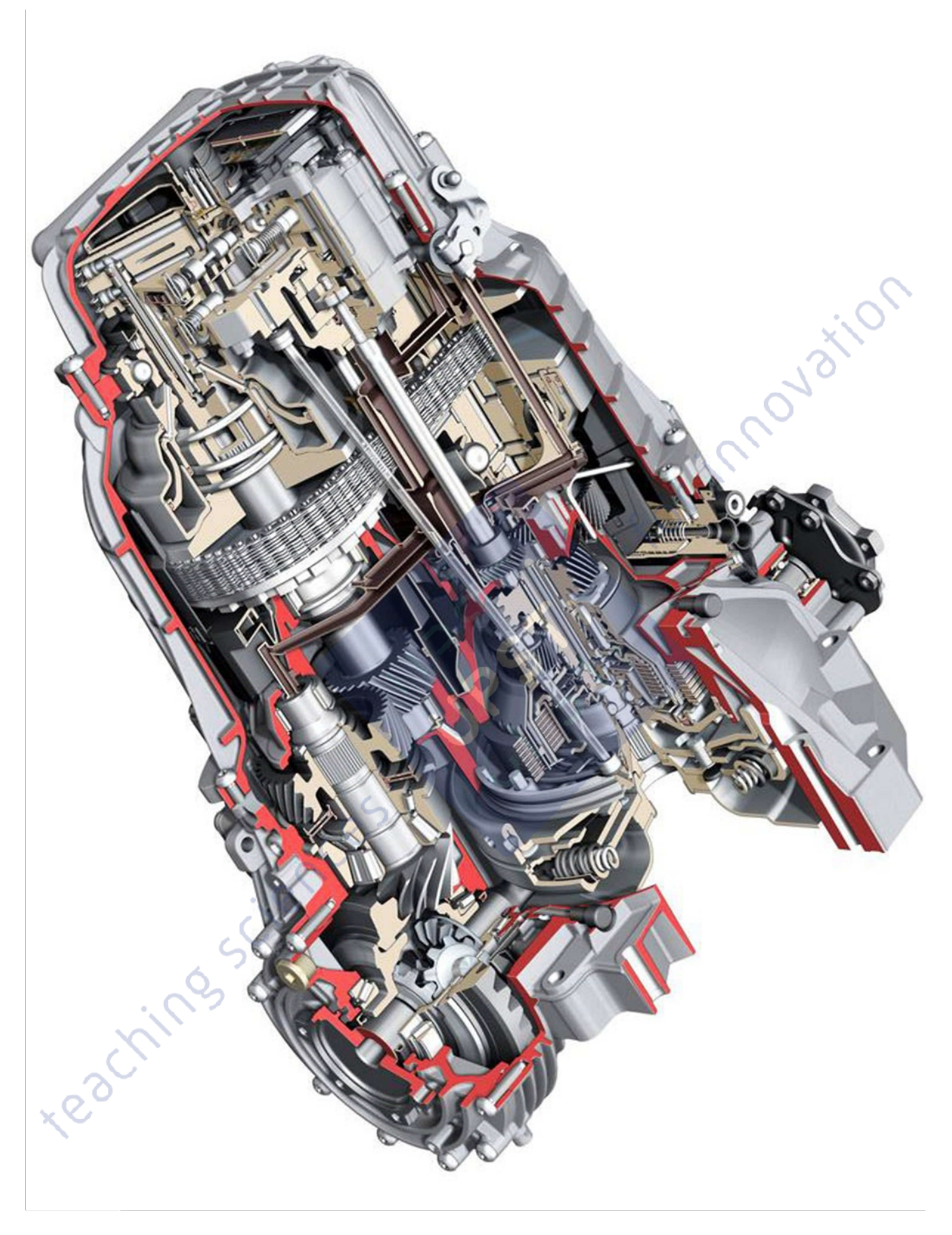


Figure 11 : Boite de vitesse à variation continue Audi Multitronic qui équipe l'Audi A6.